

36819

滑行艇的强度計算

Ю. А. ШИМАНСКИЙ 著

任 祥 年 譯
赵 联 乡 校

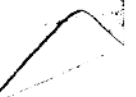


中国人民解放军军事工程学院

一九五七年五月

目 录

緒 言.....	3
第一 章 艇体总强度的計算.....	7
§ 1 計算的一般根据.....	7
§ 2 波浪冲击力的計算.....	9
1. 基本前提和假設	9
2. 冲击速度的計算	10
3. 波浪冲击力的計算公式	12
4. 确定波浪冲击力的一般步骤.....	16
5. 冲击力在艇体長度上的分佈	18
§ 3 計算波浪冲击力的例題.....	19
1. 原始数据	19
2. 首冲击时波浪冲击力的确定	19
3. 断級冲击时波浪冲击力的确定	24
§ 4 艇体断面的計算弯矩和剪力的計算.....	27
1. 惯性力的公式	28
2. 重力及水的支持力的考慮	29
3. 艇体断面中的計算力	30
§ 5 有断級滑行艇艇体断面中計算力的計算例題.....	33
1. 首冲击的情况	33
2. 断級冲击的情况	36
§ 6 无断級滑行艇艇体断面中計算力的計算例題.....	36
1. 首冲击的情况	36
2. 中断面处冲击的情况	39
§ 7 艇体断面中极限弯矩及极限剪力的計算.....	39
1. 极限应力（危險应力）規範	40



2246

2.	縱構件的材料剛度的考慮	41
3.	間斷縱構件的考慮	43
4.	縱構件中開口的影響	47
5.	壓縮應力作用下的縱構件穩定的計算	48
6.	承受剪力的構件的穩定及其材料剛度的計算	51
7.	承受剪力的木艇體結構的极限剪切力的計算	52
8.	計算极限彎矩和剪力的一般步驟	55
§ 8.	計算金屬艇體斷面內之极限力的例題	59
§ 9.	計算木艇體斷面內之极限力的例題	63
§ 10.	艇體總橫強度的審核	68

第二章 艇體局部強度的計算

§ 11.	計算載荷的數值和性質	70
§ 12.	許用應力規範	74
§ 13.	艇體構架的強度計算	75
§ 14.	艇體壳板的強度計算	80

第三章 附錄

§ 1.	計算水衝擊力的公式	84
§ 2.	計算艇體總橫強度的根據	88
§ 3.	木艇體縱構件之對接的影響的考慮	91
§ 4.	承受縱向壓力或拉力的壳板	92
§ 5.	底部橫向斜升的影響	102
§ 6.	木壳板在剪力作用下的工作情況	105
§ 7.	釘子的剪切強度	112
§ 8.	邊為自由支持的混合壳板的弯曲	115
§ 9.	邊為固定拘束的混合壳板的弯曲	120
§ 10.	作用於艇體壳板和肋骨上的動水壓力的計算公式	128
§ 11.	艇體表面上任一點的角度關係式的推導	130

目 录

緒 言.....	3
第一 章 艇体总强度的計算.....	7
§ 1 計算的一般根据.....	7
§ 2 波浪冲击力的計算.....	9
1. 基本前提和假設	9
2. 冲击速度的計算	10
3. 波浪冲击力的計算公式	12
4. 确定波浪冲击力的一般步骤.....	16
5. 冲击力在艇体長度上的分佈	18
§ 3 計算波浪冲击力的例題.....	19
1. 原始数据	19
2. 首冲击时波浪冲击力的确定	19
3. 断級冲击时波浪冲击力的确定	24
§ 4 艇体断面的計算弯矩和剪力的計算.....	27
1. 惯性力的公式	28
2. 重力及水的支持力的考慮	29
3. 艇体断面中的計算力	30
§ 5 有断級滑行艇艇体断面中計算力的計算例題.....	33
1. 首冲击的情况	33
2. 断級冲击的情况	36
§ 6 无断級滑行艇艇体断面中計算力的計算例題.....	36
1. 首冲击的情况	36
2. 中断面处冲击的情况	39
§ 7 艇体断面中极限弯矩及极限剪力的計算.....	39
1. 极限应力（危險应力）規範	40



224

2.	縱構件的材料剛度的考慮	41
3.	間斷縱構件的考慮	43
4.	縱構件中開口的影響	47
5.	壓縮應力作用下的縱構件穩定的計算	48
6.	承受剪力的構件的穩定及其材料剛度的計算	51
7.	承受剪力的木艇體結構的极限剪切力的計算	52
8.	計算极限彎矩和剪力的一般步驟	55
§ 8.	計算金屬艇體斷面內之极限力的例題	59
§ 9.	計算木艇體斷面內之极限力的例題	63
§ 10.	艇體總橫強度的審核	68

第二章 艇體局部強度的計算

§ 11.	計算載荷的數值和性質	70
§ 12.	許用應力規範	74
§ 13.	艇體構架的強度計算	75
§ 14.	艇體壳板的強度計算	80

第三章 附錄

§ 1.	計算水衝擊力的公式	84
§ 2.	計算艇體總橫強度的根據	88
§ 3.	木艇體縱構件之對接的影響的考慮	91
§ 4.	承受縱向壓力或拉力的壳板	92
§ 5.	底部橫向斜升的影響	102
§ 6.	木壳板在剪力作用下的工作情況	105
§ 7.	釘子的剪切強度	112
§ 8.	邊為自由支持的混合壳板的彎曲	115
§ 9.	邊為固定拘束的混合壳板的彎曲	120
§ 10.	作用於艇體壳板和肋骨上的動水壓力的計算公式	128
§ 11.	艇體表面上任一點的角度關係式的推導	130

緒 言

滑行式艇，它不同于一般形式的排水艇，其特殊的特征是在它的底部作用着，由于較大的航速和艇体的特殊形狀所引起的动水力。这样，就使得滑行艇在全速航行时，可以大大的改变其吃水和倾差；这种艇体的特有形狀的特点，是在舷綫以下的底部区域，有很大的向外傾斜外形，該区域上的縱剖綫也有很大的傾斜形狀。

由于上面这种原因，作用在艇底的动水压力的方向，將接近于艇底的法綫方向。因此，艇在減少其吃水和增加尾倾差的同时，就从水中突出。这样，相应的減少了滑行艇的运动阻力，因而能增加艇的速度。

但是，上面所提到的滑行艇艇底的特殊形狀，从艇的运动阻力观点来看是有利的，而从艇体的強度观点来看，是非常不利的。

艇底的首部区域，它由于具有上述的倾差形狀；所以在航行时，是在水面以上；因此，这个艇底区域遭受巨大的波浪冲击力的作用，因为这些力的方向，是接近于艇底的法綫方向，所以这些力不仅对于滑行艇的局部強度是危險的，而且对于其总縱強度也是危險的。波浪对艇底的冲击，或更确切的說，艇底与波浪的相互冲击，是如此的巨大和严重，以至于在某些情形下，它能限制滑行艇在一定海面情况下的可能达到的最大速度；为了緩和这种冲击力的作用，有时不得不降低艇的速度；因这种冲击不仅对于艇上的人員是不能忍受的，而且对于艇体的局部強度，总強度以及設備的完整性都是危險的。

滑行艇艇底的这种外形，从其純航行性能的观点（即在靜水中获得更大的航速）来看，是最有利的。而从艇的航海性能（即在波浪中發揮滑行艇的全速）的观点来看，可能不太有利。因此，滑行艇的航速可能是被对于艇体的局部强度或总强度；以及其对设备有危险的巨大波浪冲击力和与其相应的惯性力限制着。

因之，在确定最合适滑行艇体外形时，不仅要适当地考虑这些外形的性质对經常的航行性能的影响，而且还要考虑对航海性能的影响。这正如以上所指出的，航海性能在很大的程度上是取决于艇体的强度，以及艇在逆浪全速航行时所获得的最大加速度及与其相应的惯性力的数值。

由以上所述，滑行艇体与一般排水艇体的工作条件的原则差别以及各种形状的艇体应满足的要求間的原则差别已显得非常明显。因此，滑行艇艇体的强度，除了满足排水艇艇体强度的一般要求外，还必需考虑到当滑行艇逆浪全速航行时所承受最大波浪冲击力的作用。

可以肯定的說，到目前为止在实际造船中，还没有制定出經過充分研究的和有严整根据的方法来計算滑行艇艇体的强度。在我們的和外国的技术書籍里有一系列的研究水上飞机浮筒的著作，其中也含有理論或實驗性质的材料，以及在这些材料的基础上綜合起来的某些实践的結論。有人建議在計算滑行艇体强度时可以部分的使用这些材料和結論。因为滑行艇体的工作条件与水上飞机浮筒体在起飞和降落时的工作条件是类似的。但是所有这些材料和建議还不能完全可靠地滿足滑行艇制造上的实际要求；今后必須以适合使用的理論研究結果，實驗的結果对这些材料繼續补充和修正。

由于現在缺少为制定可靠的理論和計算各种型式的滑行艇所必須詳尽的理論和實驗資料，还不得不用純近似的計算方法。与此相同，在实际造船中的許多其他类似的情形，也是这样作的。

在本書中要敍述的是断級式或无断級式的金属艇体和木質艇

体强度计算的近似方法。这个方法的实质如下：

根据所讨论的结构的工作条件的分析，可以很可靠地确定出决定此结构变形的所有主要因素的影响的性质和程度，由此，定出必须的计算公式，以便以一定的可靠程度来考虑这些因素对结构变形的相对影响，然后将这样的近似计算公式用于已造好的和在实际中考验过的结构上去，并对所获得结果作出适当的综合对比，这样，就可以对这些近似计算公式选择出在实际上经过审查的可靠的数值系数。为了使上述的强度近似计算法继续发展，应当逐步地积累这方面的理论和实际材料，以便根据这些材料来更完善，更正确和更准确的估计决定结构变形的全部因素对结构变形的影响。并且在此基础上对近似计算公式引入相应的修正。

与任何其他形式的船相比，滑行艇体的强度，在更大程度上，不仅是决定于可能经过适当计算的承载构件的尺寸，而且还取决于构件设计的正确性和艇体建造时各构件完成的准确性。

实际证明，所发现的滑行艇艇体总强度或局部强度的破坏的主要原因，正是由于纯设计和生产性质的错误。所以在设计滑行艇艇体时，特别是木艇体时，不应过高地估计强度计算的作用和意义。对其多余的重视，在艇体施工设计中，会妨碍对重要的结点在生产上和结构上的周密考虑。在设计滑行艇体时，强度计算的作用和意义，只限于在有经验的设计师对重要的构件进行适当的结构鉴定以后对上述各重要构件的主要尺寸近似进行逐步的检查。

以上的叙述对木艇体的滑行艇来说，适当地设计鉴定和在生产上正确的完成木艇体结构构件的各种连接具有重要的意义。同时不仅要考虑到作用在这些结构上的力的交变性质，而且还要考虑到在艇的使用条件下所能产生的木材湿度变化的不利影响。

在解决设计木艇体过程中所产生的设计问题时，要应用在这方面已有的实际经验，和飞机制造以及其他应用木结构的技术中木结构的设计经验。

本書中所引的數值計算值題，以及在第Ⅲ章 § 11中的艇體表面角的關係式的結論，是由科學研究員Л. Г. 馬爾果娃姪和П. С. 索爾沃科完成的。

第一章

艇体总强度的计算

§ 1. 计算的一般根据

1. 应用艇在逆浪全速航行时，作用在艇体上的最大力，来计算艇的总强度。这些力在艇体的某些部分上，是作为波浪与艇底相互冲击的集中力的形式，和波浪在艇体上的作用而产生的加速度所引起的艇的分布的质量惯性力的形式出现的。

如果已知了波浪冲击力的数值和位置，那么就可以计算与这些力相对应的艇的质量惯性力，以及艇体断面的弯矩和剪力对计算所要求的可靠程度和精确度，是和计算一般排水船之船体强度所要求的一样。因此在计算滑行艇之总强度的基本困难，是在于确定波浪与艇底的冲击力。

在解决这个问题时，我们尽可能正确和完满的来考虑决定这个力的一些因素对此力的影响，这些因素是艇的速度及艇的尺寸和重量，以及艇体外型的特殊性；至于其他的对这个力的数值有很大影响的因素，如在波浪冲击时艇的倾差角和波浪冲击力作用的长度和波浪元素，都是未知的，那末我们根据某些接近的，但是纯属近似的假设可以给出这些因素。

用这种方法所获得艇体断面中的计算力，自然与最不利条件下艇在波浪中航行时，所获得这种力的实际最大值有很大的差别。

可是，这里对同一型式的(断级或无断级)各种艇的计算误差是保持着同一样或极相近，因为在确定计算力时，是用同一方法

來考慮影響這些數值的上述各基本因素。根據這些，我們可以寫出下列兩個對比艇之斷面彎矩的最大計算值 M_p 和最大實際值 M_{α} 之間的關係式：

$$\left. \begin{array}{l} M_{1\alpha} = kM_{1p} \\ M_{2\alpha} = kM_{2p} \end{array} \right\} \quad (a)$$

其中 k ——決定艇體斷面之計算彎矩值和實際彎矩值之間差別的未知系數。

為了使對比艇是等強度的艇，顯然，必須使實際彎矩 $M_{1\alpha}, M_{2\alpha}$ 和極限彎矩 $M_{1\alpha p}, M_{2\alpha p}$ 有相同的比例，即在此種彎矩的情形下，艇體斷面內產生的應力，能夠破壞艇體構件的完整性並引起不允許變形，剛才所說的應力應作為所討論的艇體結構和材料的危險應力，這個等強度條件可變為如下形式：

$$\left. \begin{array}{l} M_{1\alpha} = KM_{1\alpha p} \\ M_{2\alpha} = KM_{2\alpha p} \end{array} \right\} \quad (6)$$

其中 K ——是一個未知系數，它表示艇體對極限應力的強度貯量。

比較(a)和(6)可以得到

$$\frac{M_{1\alpha p}}{M_{1p}} = \frac{M_{2\alpha p}}{M_{2p}} = n$$

用同法，根據對比艇的等強度條件，應有

$$\frac{Q_{1\alpha p}}{Q_{1p}} = \frac{Q_{2\alpha p}}{Q_{2p}} = m$$

其中 $Q_{1\alpha p}$ 和 $Q_{2\alpha p}$ → 艇體斷面剪力相應的極限值和計算值，

2. 根據上面所獲得的兩個等強度條件同時利用在艇體強度方面表現很好的，且在型式上接近的母型艇。可進行新設計的滑行艇的總強度的計算。

這些條件使得有可能對一些已造好的和已經經過實際驗證的各種型式的滑行艇艇體的強度進行比較，並且根據這個比較結果選擇合適的 n 和 m 的數值以作為經常遵守的實際標準。

根據這方面的研究，我們對上述標準提出下列的 n 和 m 值其

中与确定 n 及 m 数值有关的計算弯矩及計算剪力和极限弯矩及极限剪力的全部計算，是根据后面的例題中所闡明的方法来完成的。

艇的型式	艇体材料.....	n	m
断級式的	金屬材料.....	4	3
	木質材料.....	3	2
无断級式的	金屬材料.....	4	3
	木質材料.....	3	2

§ 2. 波浪冲击力的計算

1. 基本前提和假設

由已有的楔形投入体（落体）与水之冲击現象的理論研究而导出的計算公式，經過實驗檢查，證明是充分精确地符合于实际情况。由物体与靜水面垂直冲击的情形所导出的公式，也可用来計算波浪与高速航行在波浪海面上的艇底之冲击力。同时，在应用这些公式来計算波浪在艇底的冲击力时，必須採取一系列的假設，採取这些假設以后，用此法所得到的計算公式具有条件性：这些公式还可以做为計算冲击因素（如航速、艇体外形、艇的尺寸和艇重量在量度上的分布）对波浪与艇底的相互冲击力之影響的充分可靠的工具。

在应用由投入体与水的垂直冲击情形所导出的理論公式时所必須採取的基本假設、在于任意的选择公式中所含的冲击長度，即在冲击时艇底与水相接触部份的長度。

这个冲击長度，自然是作为艇的某一部份長度来确定；我們將这个計算冲击長度，无论是在首部冲击时，或在艇的中部区域冲击时，均取为等 $\frac{1}{4}$ 艇長。^{1) 2) 3)}

在应用投入体与水的冲击理論的結論时，所必須採取的第二假設，是与确定滑行艇在波浪冲击时的倾差角有关。这个倾差角自然应認為大于滑行艇在靜水中全速航行时的正常倾差角，并且

以求考慮到滑行艇在波浪中航行时产生不可避免的縱搖，故取艇之計算傾差角，为艇在靜水中全速航行的正常傾差角的三倍。

2. 冲击速度的計算

在計算投入体与水之冲击力的公式中，含有物体与水接触时的垂直速度的平方，在此种情形，此速度应取最大航速在垂直于滑行艇之龙骨綫方向的分速，或更确切的說，是在冲击时最大航速在艇体与水相接触部份(图 1)之中剖綫的垂直方向的分速度，即



图 1

$$v_p = v_{\max} \sin \psi$$

其中 v_{\max} —— 艇的最大航速；

ψ —— 中剖綫与水平方向的夾角。

同时，为了周密的考慮艇的速度对波浪冲击力的影響，甚至必須考慮波浪运动中水本身的速度。虽然这个速度比起艇的最大速度是不大的，但可能由于水的运动方向是接近于垂直方向，因此这个影響是很重要的。

在图 2 上表示出水波运动时水質点的速度在水波各个位置的方向。这个速度等于

$$v = \omega_r = \sqrt{\frac{2\pi g}{l}} - \frac{h}{2} = \sqrt{\frac{\pi g}{2}} \cdot \frac{h}{\sqrt{l}} \approx 3.9 \frac{h}{\sqrt{l}}$$

其中 $h = 2r$ —— 波高；

l —— 波長；

ω ——水質點的運動角速度。

在波的最大斜面點 3 上，這個速度的方向是垂直向上的，而在波峯點 1 上，是沿與艇的航速相反的水平方向，中點 2 上的速

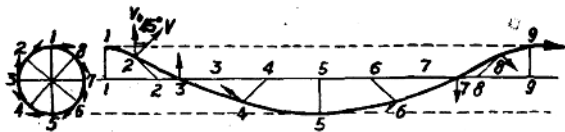


图 2

度的垂直分速度等於

$$v_b = v \sin 45^\circ = 0.707v.$$

取波長約等於艇長的一半 ($l \approx \frac{1}{2}L$)，取波高約等於波長的 $1/6$ ($h \approx \frac{1}{6}l = \frac{1}{12}L$)，我們將獲得水之垂直分速度，等於

$$\sqrt{v_b} = 0.707 \times 3.9 \frac{h}{\sqrt{l}} = 0.707 \times 3.9 \frac{L}{12} \sqrt{\frac{1}{2}L} = 0.3\sqrt{L} \text{ 公尺/秒}$$

垂直等於中剖線方向的水的速度等於

$$v_\perp = v_b \cos \psi$$

因此，水衝擊的計算速度將取其等於

$$v_p = v_{max} \sin \psi + 0.3\sqrt{L} \cos \psi \quad (1)$$

式中 v_{max} ——艇的全速；

L ——艇的全長；

ψ ——中剖線的切線與水平線的夾角。

若考慮到在縱搖時艇的傾差角為艇在靜水中的正常傾差角的三倍，在計算中， ψ 角的值應取為（看圖 1）

$$\psi = 3\theta + \delta, \quad (2)$$

其中 θ ——艇在静水中航行时的倾差角，等于艇的纵轴与水平线间的夹角；

δ ——中剖线之切线与艇的纵轴间的夹角。

3. 波浪冲击力的计算公式

应用由上述资料中对水上飞机降落时所导出之水的冲击理论之结论，来计算在波浪冲击区域垂直于艇体中剖线方向作用于滑行艇底的最大波浪冲击力，可以应用如下的公式：

$$N_{\max} = 2.1 \varphi \sqrt{\left(1 - \frac{\beta}{\pi}\right) l p_{np}} \frac{f(u)}{u} v_p^2, \quad (3) \text{ (註)}$$

其中 v_p ——公式①确定的冲击计算速度；

p_{np} ——属于水冲击区域的艇之重量，等于

$$p_{np} = p \frac{1}{1 + \frac{r^2}{\rho^2}} \quad (4)$$

r ——对于艇重心的冲击力臂（见图1）；

ρ ——对于通过艇重心的横轴之惯性半径；

l ——冲击长度，即底受水冲击的一段长度；长度 l 取为艇

$$\text{长的 } 1/10 (l = \frac{1}{10} L);$$

φ ——考虑冲击长度 l 与在形成最大冲击力 N_{\max} 时入水部份的底的宽度 B_1 间之比值影响的系数（图3）。

宽度 B_1 由如下公式确定：

$$B_1 = 0.0225 \sqrt{\left(1 - \frac{\beta}{\pi}\right) l} = 0.070 \sqrt{\left(1 - \frac{\beta}{\pi}\right) l} \quad (5)$$

(註) 艇的纵轴认为是极接近于艇体横断面面积重心位置的直线。
见附录第Ⅱ章 § 1。

系数 Ψ 之数值

表 1

$\frac{B_1}{l}$	0	0.1	0.2	0.3	0.4	0.5	0.6	0.7
Ψ	1	0.90	0.83	0.77	0.72	0.68	0.65	0.62

$\frac{B_1}{l}$	0.8	0.9	1.00	1.20	1.40	1.60	1.80	2.00
Ψ	0.58	0.55	0.52	0.50	0.44	0.41	0.39	0.36

表 1 中之系数 Ψ 值，与 $\frac{B_1}{l}$ 之比值有关，公式 (3) 中包含
用来考虑波浪冲击区域上艇底的构造形状的其他数值 $B, f(u), u$
可由下列关系式决定：

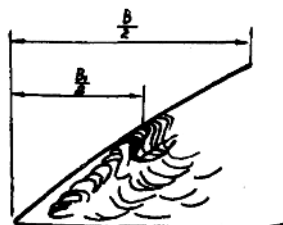


图 3

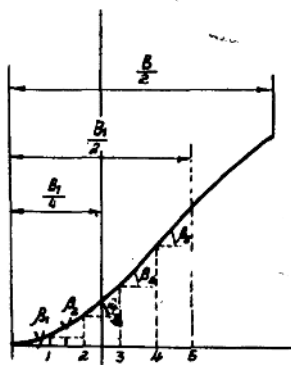


图 4

$$\beta = \operatorname{arctg} \frac{\pi}{2} u \quad (6)$$

$$f(u) = 1 - \frac{\beta}{\pi} - \sqrt{0.06} u; \quad (7)$$

$$u = \frac{2}{\pi} \cdot (\alpha_1 \operatorname{tg} \beta_1 + \alpha_2 \operatorname{tg} \beta_2 + \dots + \alpha_n \operatorname{tg} \beta_n), \quad (8)$$

其中 $\beta_1, \beta_2, \dots, \beta_n$ ——图4中由半宽 $(-\frac{1}{2}, \beta_1)$ 所分成的各段艇底的倾斜角；选择段数 n 时，应使它充分地考虑到底的外形特征

$\alpha_1, \alpha_2, \dots, \alpha_n$ ——数值系数，对于所选择的不同的 n 值时的系数值，已附于表2

附表 2

Π	1	2	3	4	5	6	7	8	9	10
β_1	1.0	0.135	0.135	0.135	0.135	0.135	0.135	0.135	0.135	0.135
β_2		0.865	0.120	0.120	0.120	0.120	0.120	0.120	0.120	0.120
β_3			0.745	0.084	0.084	0.084	0.084	0.084	0.084	0.084
β_4				0.661	0.061	0.061	0.061	0.061	0.061	0.061
β_5					0.600	0.047	0.047	0.047	0.047	0.047
β_6						0.553	0.036	0.036	0.036	0.036
β_7							0.517	0.032	0.032	0.032
β_8								0.485	0.025	0.025
β_9									0.460	0.024
β_{10}										0.436